

MCF-7 cell에서 all-trans retinoic acid에 의한 insulin-like growth factor-I와 insulin-like growth factor binding protein-3 분비조절에 있어서 PKC-δ의 역할

이선미 · 김상훈 · 최광수¹ · 강창원*

전북대학교 수의과대학 생체안전성연구소

¹우석대학교 동물자원학과

(제재승인: 2006년 5월 9일)

The roles of PKC-δ on the regulation of insulin-like growth factor(IGF)-I and insulin-Like growth factor binding protein-3 secretion by all-trans retinoic acid in MCF-7 cell

Sun-Mi Lee, Sang-Hoon Kim, Kwang-Soo Choi¹, Chang-Won Kang*

Bio-safety Research Institute, College of Veterinary Medicine, Chonbuk National University, Jeonju 561-756, Korea

¹Department of Animal Resources Science, Woosuk University, Wanju 565-701, Korea

(Accepted: May 9, 2006)

Abstract : All-trans retinoic acid (AtRA) induces growth inhibition and apoptosis in a variety of tumor cells, including MCF-7 cells. Insulin-like growth factors (IGFs) system has been reported to be associated with the development of cancer. Although MCF-7 cell with AtRA is to be the major stimulus for the cell growth and apoptosis, the mechanism of insulin-like growth factor-I (IGF-I)/insulin-like growth factor binding protein-3 (IGFBP-3) system remains to be elucidated. Thus, this study was conducted to the effect of AtRA on the gene expression and level of IGF-I and IGFBP-3. In addition, we investigated the involvement of PKC-δ on the IGF-I and IGFBP-3 secretion in MCF-7 cell. AtRA($\geq 10^{-7}$ M) decreased the IGF-I secretion and mRNA expressions, but increased IGFBP-3 secretion and mRNA expressions in MCF-7 cells. Especially, the treatment of AtRA at 72 hours caused a significant reduction in the IGF-I secretion and mRNA expressions but increment in IGFBP-3 secretion and mRNA expressions ($p < 0.05$). 10^{-7} M AtRA activated PKC-δ that is one among PKC- α , β , λ and δ in MCF-7 cell. Rotllerin, a PKC-δ inhibitor, blocked AtRA-induced inhibition of the IGF-I and mRNA expressions, and increase of IGFBP-3 and mRNA expressions in MCF-7 cell. Together, AtRA inhibited the IGF-I secretion and mRNA expressions, but increased IGFBP-3 secretion and mRNA expressions in MCF-7 cell. Furthermore, AtRA-induced alteration of IGF-I, IGFBP-3 secretion, and the gene expressions were mediated via PKC-δ activity.

Key words : AtRA, IGF-I, MCF-7, IGFBP-3, PKC-δ

서 론

Retinoid는 망막, 수정, 대사, 면역 생체의 분화 및 세포 증식에 깊이 관여하고 있는 vitamine A의 유도체로

잘 알려져 있다 [8, 27]. Retinoid의 3구성 요소로는 retinal, retinol 및 retinoic acid(RA)로써 각각의 생물학적 기능을 가지고 있다. All-trans RA(AtRA)는 retinal이나 retinol로 전환할 불가능하나 그 기능은 암세포의 apoptosis와 세

*Corresponding author: Chang-Won Kang
College of Veterinary Medivine, Chonbuk National University, Jeonju 561-756, Korea
[Tel: +82-63-270-3715, Fax: +82-63-270-3780, E-mail: cwkang@chonbuk.ac.kr]

포 증식 억제에 깊이 관여하고 있지만 최근까지도 증식 억제에 대한 논란이 계속되고 있다 [30, 31]. 또한 AtRA에 대한 생체 내 부작용 및 독성 역시 간과하지 않을 수 없다. 특히 그 독성은 발생단계의 랫트에서 AtRA의 다량투여가 많은 기형이 유발될 수 있음이 알려짐에 따라 임상적인 적용이 매우 신중하지 않을 수 없다 [8, 29]. 그럼에도 불구하고 AtRA는 임상학적으로 항암치료에 폭넓게 사용함으로써 그 유용성이 매우 크다고 할 수 있다. 특히 피부, 폐, 방광, 유선 및 소화기 등의 다양한 장기에 암이 유발될 경우에 AtRA는 광범위한 치료약물로서의 사용 가능성이 일찍이 보고되었다 [5, 24, 31]. 또한 AtRA는 유방암의 증식 및 억제에 estrogen, cyclin D, RAR- β , AP-1, PKC 및 PKC- α 활성이 관여하고 있으며 [2, 7, 20, 33], 특히, PKC- α 와 - β 는 암세포에서 증식과 분화에 깊이 관여하고 있음을 이미 보고되어 있다 [16].

Insulin-like growth factor-I(IGF-I)은 강력한 세포 증식과 암세포 apoptosis 억제 인자로써 생체 대사와 세포 성장 인자로 중요한 역할을 하고 있다고 보고되었다 [33]. 또한 IGF-I 활성을 조절하는 IGF binding proteins(IGFBPs)은 최소한 6 subtypes으로 구성되어 있으며, 그 중 하나인 IGFBP-3은 IGF-I 활성에 관여함으로써 암세포 증식을 억제한다고 보고되었다 [15]. 그러나 다른 연구에서는 IGFBP-3가 독립적으로 암세포 증식 억제에 관여한다는 보고 [26]와 같이 아직 그 기능 및 역할이 명확하지 않은 상태이다. IGF-I와 IGFBP-3 분비의 자극은 성장호르몬, steroid hormone, 및 vitamine D₃ 등이 관여한다고 알려져 있으며 [15], 특히 MCF-7 cell에서 AtRA는 IGFBP-3 분비를 자극한다고 보고하였다 [1]. 그러나 MCF-7 cell에서 AtRA에 의한 세포증식 억제가 IGF-I와 IGFBP-3 분비에 미치는 영향과 그 분비 기전에 대한 경로가 아직 명확하지 않은 상태이다. 따라서 본 연구자는 AtRA가 MCF-7 cell에서 IGF-I와 IGFBP-3 분비에 어떠한 영향이 있는지를 유전자 및 단백질 수준에서 관찰하고 이러한 분비 기전이 PKC isoforms 중 어떠한 isoform이 관련되어 있는지를 밝히고자 하였다.

재료 및 방법

세포 배양

실험에 사용한 유방암세포는 MCF-7 cell이며, Korea Cell Line Bank(KCLB)를 통하여 구입하였다. 세포배양은 10% FBS(Hyclone, USA), 4 mM glutamine 및 25 mM HEPES가 첨가된 RPMI 1640(Sigma, USA) 배지에 5×10^5 cells/cm²를 6 cm petri dish에 넣은 다음 2일간 5% CO₂ 배양기에 배양하였다. 그 후 혼미경으로 confluence 세포를 확인한 후 phosphate buffered saline(PBS) 용액으

로 2회 세척한 다음 0.2% BSA가 첨가한 무혈청 RPMI 1640 배지에 옮겨 약물과 함께 배양하였다.

IGF-I 분석

약물을 처리한 MCF-7 세포의 배양배지의 상층액을 분리하여 Jin 등 [14]의 방법에 의하여 IGF-I를 분석하였다. 이를 요약하면, 우선 전처리로 시료 200 μ l에 acid-ethanol(2 M HCl : ethanol = 1 : 7) 800 μ l를 첨가한 후 3,000 rpm, 4°C에서 30분간 원심 분리하여 IGF-I를 분리하였다. 전처리한 시료 100 μ l에 polyclonal anti-IGFs (Gro-Pep, Australia) 50 μ l를 첨가하고 60분 후에 조제된 [¹²⁵I]-IGF-I(20000 cpm/100 μ l)를 100 μ l씩 혼합하여 각각의 시험관에 4°C 18시간 반응시켰다. 그 후 말 혈청 50 μ l와 12% polyethylene glycol #8000(PEG) 1 ml (Sigma, USA)을 첨가하여 3,000 rpm에서 30분간 원심 분리시켜 결합형과 비결합형을 분리시켰고 결합형의 방사능을 gamma counter(Packard, USA)로 측정하였다.

Western Blotting

시료내 IGFBPs를 관찰하기 위한 Western Ligand Blot(WLB) 분석을 이용하여 시행하였으며 [13], 이를 검증을 하기 위한 Western immuno blotting은 Lee 등의 방법에 의하여 수행되었다 [19]. 이를 요약하면, 배지를 제거한 MCF-7 세포를 각기 150 μ g의 lysis buffer(10X PBS, 1% NP-40, 20% SDS, 0.5 M EDTA, 0.01 M PMSF, 10 mg/ml Leupeptin, 1 mg/ml pepstatin A)를 처리하여 균질화를 시켰다. 균질화된 세포를 40 μ g의 단백질을 정량하여 10% SDS-PAGE 전기영동을 시킨 후, polyvinylidene difluoride membrane에 transfer하였다. membrane은 5% skim milk에 1시간 동안 blocking을 시켰고, Primary Anti body를 1% skim milk에 1 : 250 ~ 1 : 1000의 비율로 희석하여 4°C에서 18시간 이상 incubation하였다. 그 후, membrane은 0.1% Tween-20/TBS에 10분 간격으로 3번 washing을 하였고, membrane은 1% skim milk에 3,000 배 희석된 horseradish-peroxidase labeled secondary antibody에 1시간 동안 incubating한 후, 3번 washing을 거쳐서 ECL solution(Santa Cruz, USA)을 처리한 다음 X-ray 필름에 노출시켜 현상하였다.

RNA 분리 및 RT-PCR(Reverse Transcription Polymerase Chain Reaction)

RNA 분리 및 RT-PCR은 LEE 등의 방법에 의하여 수행되었다 [19]. 합성된 IGFs cDNA 10 μ g에 Taq-polymerase 효소반응액(10 × buffer(5 μ l), 500 μ M dNTP(5 μ l), 25 mM MgCl₂(3 μ l), Taq-polymerase(0.25 μ l, 5 U/ μ l)을 첨가하고

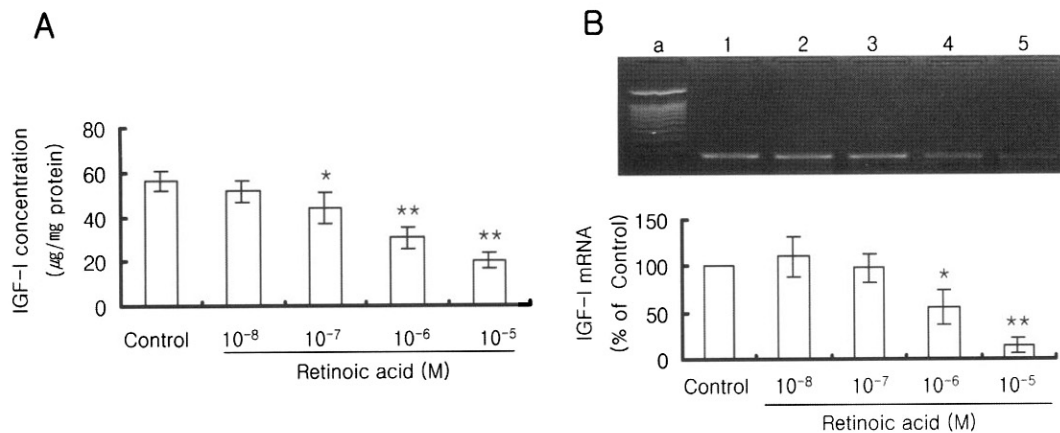


Fig. 1. Effects of AtRA on IGF-I concentration (A) and gene expression (B) in MCF-7 cells. IGF-I concentrations was determined by RIA. MCF-7 cells were treated with vehicle (control, Lane 1), 10^{-8} M (Lane 2), 10^{-7} M (Lane 3), 10^{-6} M (Lane 4), and 10^{-5} M (Lane 5) AtRA using RT-PCR. Densitometric analysis was performed to compare each band (B, lower panel). All values are presented as the mean \pm SD ($n = 7$), * $p < 0.05$ vs. control; ** $p < 0.01$ vs. control a: DNA marker.

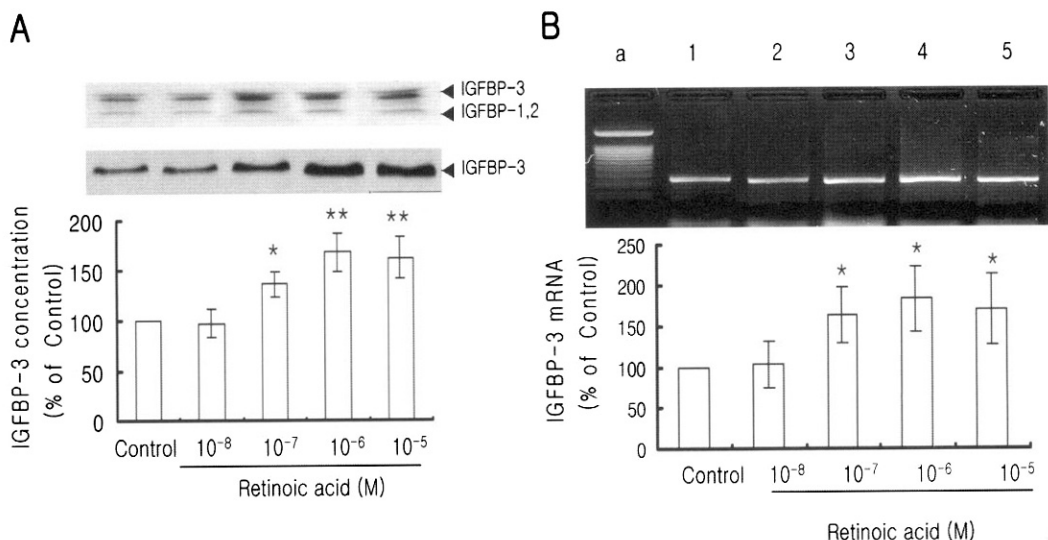


Fig. 2. Effects of AtRA on IGFBP-3 concentration (A) and gene expression (B) in MCF-7 cells. Equal amounts (40 μg) of total cell lysates were analyzed by SDS-PAGE and immunoblotted with an anti-IGFBP-3. MCF-7 cells were treated with vehicle (control, Lane 1), 10^{-8} M (Lane 2), 10^{-7} M (Lane 3), 10^{-6} M (Lane 4), and 10^{-5} M (Lane 5) AtRA using RT-PCR and western blotting. Densitometric analysis was performed to compare each band (B, lower panel). All values are presented as the mean \pm SD ($n = 7$), * $p < 0.05$ vs. control. a: DNA marker.

IGF-I cDNA에 특이적으로 반응하는 IGF-I sense 5'-CAC AGG GTA TGG CTC-3'; antisense, 5'-CTT CTG GGT CTT GGG-3'(anti-sense)를 각각 1 μl (10 pM) 첨가하여 94 °C/1 min, 56 °C/1 min, 72 °C/1 min 조건에서 30 cycles로 증폭하였으며, IGFBP-3 cDNA에 특이적으로 반응하는

primer sense, 5'-CTC TCC CAG GCT ACA CCA-3'; antisense, 5'-GAA GTC TGG GTG CTG TGC-3'를 각각 1 μl (10 pM) 첨가하여 94 °C/1 min, 61 °C/1 min, 72 °C/1 min 조건에서 30 cycles로 증폭한 후 2% agarose gel 상에서 발현량을 조사하였다.

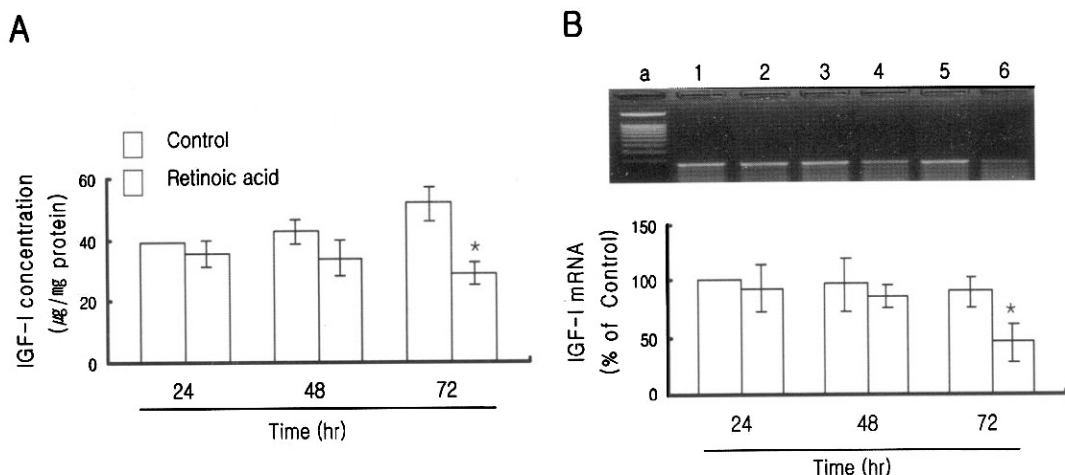


Fig. 3. Time course effect of AtRA on IGF-I concentration (A) and gene expression (B). MCF-7 cells were treated with AtRA (10^{-7} M) at 24, 48 and 72 h. Densitometric analysis was performed to compare each band (B, lower panel). a: DNA marker, 1: 24 h Control, 2: 24 h AtRA, 3: 48 h Control, 4: 48 h AtRA, 5: 72 h Control, 6: 72 h AtRA. All values are presented as the mean \pm SD ($n = 7$). * $p < 0.05$ vs control.

통계처리

이 실험에서 측정한 결과는 means \pm SD로 나타내었고 group간의 차이는 Student's *t*-test를 이용하였으며, ($p < 0.05$) 경우를 유의한 차이로 인정하였다.

결 과

MCF-7 cell에서 AtRA가 IGF-I와 IGFBP-3 분비 및 유전자발현에 미치는 효과

MCF-7 세포에 10^{-5} , 10^{-6} , 10^{-7} 및 10^{-8} M AtRA를 72시간 처리하였다. 그럼 1A에서와 같이 AtRA 처리군은 대조군에 비하여 농도 의존적으로 IGF-I 분비를 감소시켰으며 특히 10^{-7} M AtRA 처리군 부터 유의성 있는 감소($p < 0.05$)를 관찰하였다. 이때 IGF-I 유전자 발현 역시 AtRA 농도 의존적으로 감소하였으며, 특히 10^{-6} M AtRA 처리군 부터 유의성 있는 감소($p < 0.05$)를 관찰하였다(Fig. 1B). 이어 MCF-7 cell에 AtRA를 처리한 후 IGFBPs를 분류하기 위하여 Western blotting 기법을 사용한 결과 IGFBP-3, -1 및 -2가 관찰되었고 이 중 AtRA 농도에 따라 IGFBP-3 증가를 관찰하여(Fig. 2A) 이를 입증하기 위하여 western immuno-blotting를 통하여 IGFBP-3 분비 변동을 관찰하였다(Fig. 2A). 그 결과 유방암세포에서 IGFBP-3 분비는 10^{-7} M AtRA 부터 대조군에 비하여 유의성 있는 증가($p < 0.05$)를 확인하였다(Fig. 2A).

또한 MCF-7 cell에 AtRA 처리는 IGFBP-3 mRNA 유

전자 발현 역시 IGFBP-3 분비 양상과 유사하게 증가하였다(Fig. 2B, $p < 0.05$). 10^{-7} M AtRA를 MCF-7 cell에 24, 48 및 72시간 처리한 결과 72시간 AtRA 처리군에서 IGF-I와 IGF-I mRNA 발현이 유의하게 감소($p < 0.05$)하였다(Fig. 3), 이에 반하여 IGFBP-3 분비와 IGFBP-3 mRNA 발현은 대조군에 비하여 유의하게 증가($p < 0.05$)됨을 관찰하였다(Fig. 4).

MCF-7 cell에서 AtRA에 의한 PKC isoforms의 변화

MCF-7 cell에서 AtRA를 24, 48 및 72시간 처리한 후 이때 PKC isoforms인 PKC- α , δ , ι 및 λ 를 측정하였다. 그 결과 PKC- α , ι 및 λ 는 24, 48 및 72시간 모두에서 대조군과 차이를 관찰할 수 없었으나, AtRA 72시간에서 PKC- δ 가 대조군에 비하여 증가하였다(Fig. 5).

MCF-7 cell에서 AtRA에 의한 IGF-1과 IGFBP-3 분비 및 mRNA 발현 변동과 PKC- δ 관련성

MCF-7 cell에서 IGF-1과 IGFBP-3 분비 및 유전자 발현 변동이 PKC- δ 와 어떠한 관련이 있는지를 구명하기 위하여 MCF-7 cell에 10^{-7} M AtRA를 72시간 처리하고 여기에 PKC- δ 억제제인 rottlerin(10^{-7} M)을 처리하였다. 이 연구 결과 AtRA에 의하여 증가된 PKC- δ 활성이 rottlerin에 의하여 억제되었다(Fig. 6A). AtRA에 의하여 감소된 IGF-I 분비와 IGF-I 유전자 발현은 rottlerin에 의하여 차단되었다($p < 0.01$)(Fig. 6, B and C). 또한 AtRA에 의하여 유의하게 증가($p < 0.05$)된 IGFBP-3 분비와

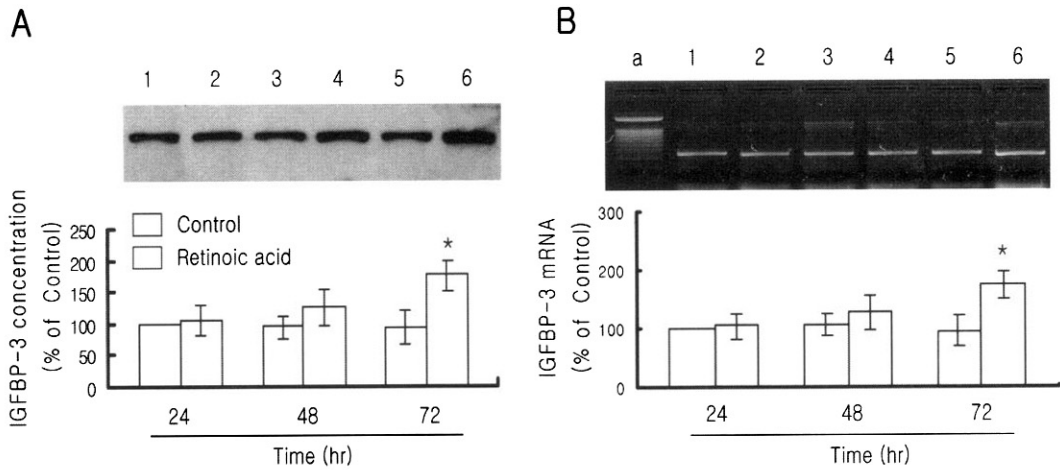


Fig. 4. Time course effect of AtRA on IGFBP-3 concentration (A) and gene expression (B). MCF-7 cells were treated with AtRA (10^{-7} M) at 24, 48 and 72 h. Equal amounts (40 μ g) of total cell lysates were analyzed by SDS-PAGE and immunoblotted with an anti-IGFBP-3. Densitometric analysis was performed to compare each band. a: DNA marker, 1: 24 h Control, 2: 24 h AtRA, 3: 48 h Control, 4: 48 h AtRA, 5: 72 h Control, 6: 72 h AtRA. All values are presented as the mean \pm SD (n = 7). *p < 0.05 vs control.

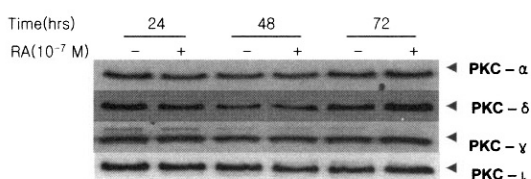


Fig. 5. Effects of AtRA on PKC isoforms activity at 24, 48 and 72 h in MCF-7 cells. Equal amounts (40 μ g) of total cell lysates were analyzed by SDS-PAGE and immunoblotted with an anti-PKC isoforms (n = 7). RA, retinoic acid.

mRNA 발현은 rottlerin에 의하여 역시 차단됨을 관찰할 수 있었다(Fig. 7).

고 찰

MCF-7 cell에서 AtRA가 IGF-I와 IGFBP-3 분비에 어떠한 연관성 있으며, 그 분비가 PKC중 어떠한 PKC isoform를 경위하는지는 아직 잘 알려져 있지 않다. 따라서 이 연구는 MCF-7 cell에서 AtRA가 IGF-I와 IGFBP-3 분비 및 mRNA 발현에 어떠한 영향을 미치며 이러한 분비 변동이 PKC중 어떠한 PKC isoform이 관여 하는지를 연구하였다.

우선 MCF-7 cell에서 AtRA를 10^{-5} , 10^{-6} , 10^{-7} 및 10^{-8} M 처리한 결과 농도 의존적으로 IGF-I 분비와 mRNA

가 억제하였고, 특히 10^{-7} M AtRA을 72시간 처리하였을 때 그 분비가 유의성 있게 억제 되었다. MCF-7 cell는 IGF-I를 생산하고 자가 분비하는 세포로서 [10, 22] MCF-6 cell에 AtRA 처리는 직접적인 세포증식 억제에 관여하고 있음을 여러 연구자들에 의하여 보고되었다 [5, 26, 31]. 이러한 상기 연구자들의 보고와 이 연구을 종합하면 AtRA에 의한 세포 증식 억제와 10^{-7} M AtRA에 의한 IGF-I 분비 감소는 깊은 연관성이 있음을 의심 할 여지가 없으며, 이러한 분비 억제는 IGF-I mRNA 발현 억제에 의하여 이루어짐을 알 수가 있었다. 또한 MCF-7 cell에서 IGF-I 분비와 유전자 발현의 유의성 있는 감소 시간은 10^{-7} M AtRA 처리 후 72시간이며, 이는 MCF-7 cell에서 AtRA 처리에 의한 암세포 억제가 72시간에 관찰된 다른 연구자의 [4] 보고와 일치하였다. 그러나 Stephen 등의 1 μ M AtRA 96시간 처리가 MCF-7 cell 증식 억제를 감소시킨다는 보고와 차이가 있었다 [32]. 이는 세포 배지의 조건, AtRA농도 및 시간 차이에 의한 것으로 사료된다.

MCF-7 cell에서 AtRA에 대한 IGFBP-3 증가는 IGF-IGFs-receptor 변동과 RA receptors가 작용하여 세포 증식을 억제시킬 수 있음을 보고하였다 [1, 11]. 또한 IGFBP-3 분비 증가는 IGF-I DNA 억제와 암세포 증식 억제에 관여하고 [6], MCF-7 cell에서 AtRA에 의한 IGF-I 분비 억제는 IGFBP-3 gene promotor가 관여하고 있음을 보고하였다 [3]. 이 연구는 MCF-7 cell에 10^{-7} M AtRA

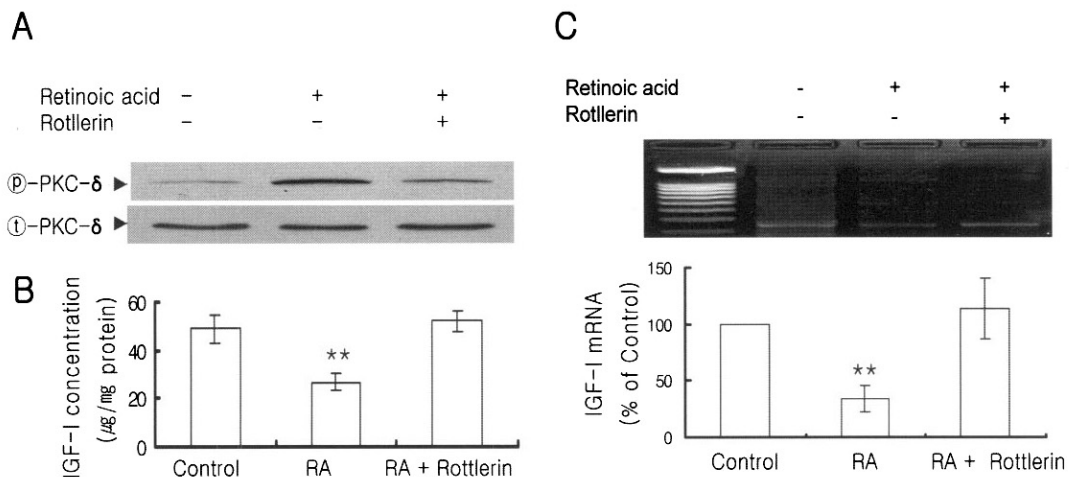


Fig. 6. Effects of PKC- δ inhibitor, rottlerin on AtRA-induced PKC- δ activity (A), IGF-I concentration (B) and its gene expression (C) in MCF-7 cells. Equal amounts (40 μg) of total cell lysates were analyzed by SDS-PAGE and immunoblotted with an anti-PKC δ . Densitometric analysis was performed to compare each band. All values are presented as the mean \pm SD ($n = 7$). ** $p < 0.01$ vs control. (P)-PKC- δ , phospho-PKC- δ ; (t)-PKC- δ , total-PKC- δ ; RA, retinoic acid.

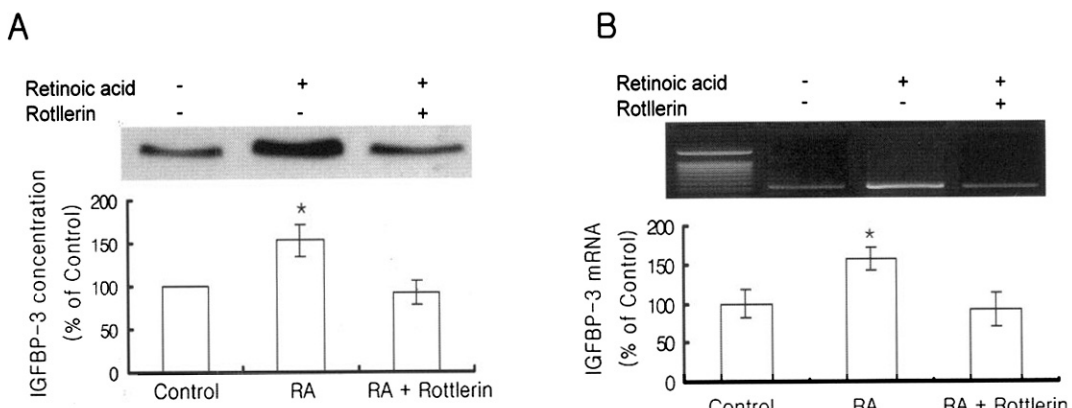


Fig. 7. Effects of PKC- δ inhibitor, rottlerin on AtRA-induced IGFBP-3 concentration (A) and gene expression (B) in MCF-7 cells. Equal amounts (40 μg) of total cell lysates were analyzed by SDS-PAGE and immunoblotted with an anti-IGFBP-3. Densitometric analysis was performed to compare each band. All values are presented as mean \pm SD ($n = 7$). ** $p < 0.05$ vs control. RA, retinoic acid.

로 자극하면 IGFBP-3 분비와 mRNA 발현이 증가됨을 확인하였으며, 특히 72시간에 현저한 증가를 관찰하였다. 이는 상기 연구자들의 MCF-7 cell에서 AtRA 처리가 IGFBP-3 분비를 증가시킨다는 연구 결과와 일치하였다. 더욱이 이 연구 결과는 IGFBP-3 분비 변동이 IGF-I 분비에 영향을 미칠 수 있음을 암시하였으며, MCF-7 cell에서 AtRA에 의한 IGFBP-3 분비 증가가 IGF-I DNA 감소와 암세포 증식 억제에 깊은 연관성이 있으며, AtRA

에 의한 IGF-I 분비의 억제는 IGFBP-3 gene promoter를 자극할 수 있음을 시사하였다. 그러나 Oh 등 [26]이 보고한 IGFBP-3가 IGF-I와 관계없이 세포 증식 및 억제에 직접 관여 할 수 있는 가능성은 앞으로 더욱 연구를 진행시켜야 할 것으로 사료된다.

한편 MCF-7 cell에서 IGF-I와 IGFBP-3 분비 자극은 PKC 활성이 관여하고 있으나 [2, 7, 9, 17, 18], 어떠한 PKC isoform이 관여하고 있는지는 보고되지 않았다. 그

러나 호르몬의 신호전달계에서 PKC는 다양한 PKC isoform에 따라 그 분비와 특성이 달라지며, 특히, PKC- α , β 및 γ 는 세포내 Ca^{2+} 존재에 의하여 활성화되고, PKC- δ , - ϵ , - θ 및 - η 는 세포내 Ca^{2+} 과 관계없이 활성화 됨이 보고되었다 [25]. 이러한 PKC isoforms은 그 종류에 따라 세포 증식, 억제 및 apoptosis에 관여한다고 보고하였다 [23]. 또한 MCF-7 cell에서 AtRA에 의한 세포 증식 억제는 PKC- α , PKC- δ 및 IGFBP-3의 자극이 관여한다고 보고하였으며 [16, 28], Kambhampati 등은 AtRA에 의한 MCF-7 cell 증식 억제는 PKC- δ 가 관여하고 있음을 보고하였다 [16]. PKC- α 는 epidermal growth factor-transforming를 활성화 시키며, PKC- δ 는 tumor suppressor gene을 활성화 시킨다고 보고하였고 [12], Mandil 등은 glioma cells에서 PKC- α 와 δ 의 작용이 세포 증식과 억제에 있어서 그 기전이 상반된다고 보고하였다 [21]. 이는 MCF-7 cell에서도 PKC isoforms에 의하여 세포 증식과 억제가 서로 상반되게 작용할 수 있음을 암시하였다. 따라서 이 연구에서 $10^{-7}M$ AtRA를 MCF-7 cell에 처리한 결과 PKC중 PKC- δ 가 활성화됨을 관찰하였다. 이는 MCF-7 cell 증식 억제가 PKC isoform중 PKC- δ 가 관련성이 있다는 상기 보고와 일치하였다. 더욱이 MCF-7 cell에서 AtRA에 의한 IGF-I, IGFBP-3 분비 및 mRNA 발현 변동에 PKC- δ 활성이 tumor suppressor gene을 활성화시킴으로서 증식 억제와 분비에 관여할 수 있음을 암시하였다.

따라서 이 연구 결과는 MCF-7 cell에서 AtRA가 IGF-I와 IGFBP-3 mRNA 발현에 관여하며, 이는 세포내 IGF-I 분비 억제와 IGFBP-3 분비 증가에 관여하고 그 분비 기전은 PKC isoforms 중 PKC- δ 가 관련되어 있음을 알 수가 있었다. 앞으로 유방암세포에서 AtRA에 의한 IGFs system의 구명은 유방암치료에 있어서 AtRA 사용에 팔복할 만한 영향을 미칠 수 있으며, 더욱이 IGF-I/IGFBP-3 분비가 암세포의 증식 및 억제에 중요하게 관여함으로써 암 조기 진단의 지표로써 활용될 수 있음을 시사하였다.

결 론

MCF-7 cell에서 AtRA는 세포 성장과 apoptosis에 관여하고 IGF-I/IGFBP-3 역시 생체 증식과 분화에 관여하고 있음을 이미 잘 알려진 사실이다. 그러나 MCF-7 cell에서 AtRA가 세포 증식과 관련하여 IGF-I와 IGFBP-3 분비 및 그 기전은 아직 밝혀지지 않았다. 따라서 이 연구는 MCF-7 cell에서 AtRA가 IGF-I와 IGFBP-3 분비에 어떠한 영향을 미치는지를 유전자와 단백질 수준에서 관찰하고 이러한 분비 기전이 어떠한 PKC isoforms이

관련되어 있는지를 밝히고자 하였다.

MCF-7 cell에서 AtRA($\geq 10^{-7}M$)는 IGF-I 분비와 mRNA 발현을 억제하였고 IGFBP-3 분비와 mRNA 발현을 증가시켰다. 특히, 72시간 $10^{-7}M$ AtRA 처리군이 대조군에 비하여 IGF-I 분비와 mRNA 발현이 유의성 있게 감소하였으나($p < 0.05$), IGFBP-3 분비와 mRNA 발현은 증가하였다($p < 0.05$). 또한 유방암세포에서 $10^{-7}M$ AtRA를 72시간 처리하면 PKC isoforms(PKC α , δ , ϵ 그리고 λ)중 PKC- δ 가 활성화 하였다. 또한 유방암세포에서 AtRA에 의한 IGF-I 분비와 mRNA 발현 감소 및 IGFBP-3 분비와 mRNA 발현 증가는 PKC- δ 억제제인 rottlerin에 의하여 차단되었다.

이를 종합하면, MCF-7 cell에 AtRA는 IGF-I 분비와 mRNA 발현 억제 및 IGFBP-3 분비와 mRNA 발현 증가를 유발시키며, 이러한 변동은 PKC isoforms중 PKC- δ 가 관여하고 있음을 관찰하였다.

참고문헌

1. Adamo ML, Shao ZM, Lanau F, Chen JC, Clemons D, Roberts CT, LeRoith D, Fontana JA. Insulin-like growth factor-I(IGF-I) and retinoic acid modulation of IGF-binding proteins(IGFBPs). IGFBP-2,-3 and 4 gene expression in a breast cancer cell line. *Endocrinology* 1992, **131**, 1858-1866.
2. Agadir A, Chen G, Bost F, Li Y, Mercola D, Zhang X. Differential effect of retinoic acid on growth regulation by phorbol ester in human cancer cell lines. *J Biol Chem* 1999, **15**, 29779-29785.
3. Albliston AL, Saffery R, Herington AC. Cloning and characterization of the promoter for the rat insulin-like growth factor-binding protein-3 gene. *Endocrinology* 1995, **136**, 696-704.
4. Bentel JA, Lebwohl DE, Cullen KJ, Mark S, Rosen RN, Rubin MS, Mendelshon J, Miller WH. Insulin-like Growth Factors mediate the growth inhibitory effects of retinoic acid on MCF-7 breast cancer cells. *J Cell Physiol* 1995, **165**, 212-221.
5. Blomhoff R, Green H, Norum KR. Vitamine A , Physiological and biochemical processing. *Annu Rev Nutr* 1992, **12**, 37-57.
6. Chen JC, Shao ZM, Sheih MS, Hussain A, LeRoith D, Charles T, Roberts JR, Fontana JA. Insulin-like growth factor-binding protein enhancement of insulin-like growth factor-I(IGF-I)-mediated DNA synthesis and IGF-I binding in a human breast carcinoma cell line. *J Cell Physiol* 1994, **158** 69-78.

7. Cho Y, Tighe AP, Talmage DA. Retinoic acid induced growth arrest of human breast carcinoma cells requires protein Kinase C alpa expression and activity. *J Cell Physiol* 1997, **172**, 306-313.
8. Chytil F. Retinoic acid biochemistry, pharmacology, toxicology and therapeutic Use. *Pharmacol* 1984, **36**, 938-978.
9. Eggo MC, Sheppard MC, Evans FJ, Lord JM. Phorbol ester showing selective activation of PKC isozymes in vitro regulate thyroid function and insulin-like growth factor binding protein secretion. *Cell Signal* 1994, **6**, 439-448.
10. Freed KA, Herington AC. Insulin-like growth factor-I and its autocrine role in growth of MCF-7 human breast cancer cells in culture. *J Mol Endocrinol* 1989, **3**, 183-190.
11. Grimberg A, Cohen P. Role of insulin-like growth factors and their binding proteins in growth control and carcinogenesis. *J Cell Physiol* 2000, **183**, 1-9.
12. Hornia A, Lu Z, Sukezane T, Zhong M, Joseph T, Frankel P, Foster DA. Antagonistic effects of protein kinase C alpha and delta on both transformation and phospholipase D activity mediated by the epidermal growth factor receptor. *Mol Cell Biol* 1999, **19**, 7672-7680.
13. Hossenlopp P, Segovia B, Lassare C, Roghani M, Bredon M, Binoux M. Enzymatic evidence of degradation of insulin-like growth factor binding protein in 150K complex during pregnancy. *J Clin Endocrinol Metab* 1990, **71**, 797-805.
14. Jin SJ, Park SH, Cho NP, Kang CW. Changes of the maternal insulin-like growth factors system in pregnant rats during perinatal periods. *Korean J Vet Res* 2003, **43**, 383-392.
15. Jones JI, Clemmons DR. Insulin-like growth factors and their binding proteins: biological actions. *Endoc Rev* 1995, **16**, 3-35.
16. Kambhampati S, Li Y, Verma A, Sassano A, Majchrzak B, Farmer S, Giafis N, Kalvakolanu DV, Rahman A, Uddin S, Tallman MS, Fish EN, Pjatanias LC. Activation of protein kinase C delta by all-trans-retinoic acid. *J Biol Chem* 2003 **29**, 32544-32551.
17. Kimura M, Ogihara M. Effects og IGF-I and II on DNA synthesis and proliferation in primary cultures of adult rat hepatocytes. *Eur J Pharmacol* 1998, **354**, 271-281.
18. Lanson M, Besson P, Bougnoux P. Supplementation of MCF-7 cells with essential fatty acids induces the activation of protein kinase C in response to IGF-1. *J Lipid Mediat Cell Signal* 1997, **16**, 189-197.
19. Lee SM, Kang CW. Effects of ethanol on secretion of insulin-like growth factor-I(IGF-I) and insulin-like growth factor binding protein-1(IGBP-1) in primary rat hepatocytes: Involvement of lipid peroxidase(LPO) activity, *Korean J Lab Anim Sci* 2004, **20**, 391-397.
20. Liu Y, Lee MO, Wang HG, Li Y, Hashimoto Y, Klaus M, Reed JC, Zhang X. Retinoic acid receptor beta mediates the growth-inhibitory effect of retinoic acid by promoting apoptosis in human breast cancer cells. *Mol Cell Biol* 1996, **16**, 1138-1149.
21. Mandil R, Ashkenazi E, Blass M, Kronfeld I, Kazimirsky G, Rosenthal G, Umansky F, Lorenzo PS, Blumberg PM, Brodie C. Protein kinase C-alpha and protein kinase C-delta play opposite roles in the prproliferation and apoptosis of glioma cells. *Cancer Res* 2001, **61**, 4612-4619.
22. Marc E, Lippman, Robert B, Dickson, Attan K, Edward G, Nancy D, Mary M, Karen H, Diane B, Susan B, Sandra S, Cornelius K. Autocrine and paracrine growth regulation of human breast cancer. *J Steroid Biochem* 1986, **24**, 147-154.
23. Mellor H and Parker PJ. The extended protein kinase C superfamily. *Biochem J* 1998, **332**, 281-292.
24. Muindi J.F., Frankel SR, Huselton, C. Clinical pharmacology of oral all-trans-retinoic acid in patient with acute promyelocytic leukemia. *Cancer Res* 1992, **52**, 2138-2142.
25. Newton AC. Regulation of protein kinase C. *Curr Opin Cell Biol* 1997 **9**, 161-167.
26. Oh Y, Muller HL, Lamson G, Rosenfeld RG. Insulin-like growth factor (IGF)-independent action of IGF-binding protein-3 in Hs578T human breast cancer cells. Cell surface binding and growth inhibition. *Biol Chem* 1993, **15**, 14964-14971.
27. Ortiz MA, Bayon Y, Francisco J, Lopez-Hernandez, Piedrafita FJ. Retinoids in combination therapies for the treatment of cancer: mechanisms and perspectives. *Drug resistance updates* 2002, **5**, 162-175.
28. Pattison ST, Fanayan S, Martin JL. Insulin-like growth factor binding protein-3 is secreted as a phosphoprotein by human breast cancer cells. *Mol Cell Endocrinol* 1999, **156**, 131-139.
29. Sani, BP, Meek RG. Subacute toxicity of all-trans- and

- 13-cis-isomers of N-ethyl retinamide, N-2-hydroxyethyl retinamide, and N-4-hydroxyethyl retinamide. *Toxicol Appl Pharmacol* 1983, **70**, 228-235.
30. **Shang Y, Baumrucker CR, Green MH.** Signal relay by acid receptors alpha and beta in the retinoic acid-induced expression of insulin-like growth factor-binding protein-3 breast cancer cells. *J Biol Chem* 1999, **274**, 18005-18010.
31. **Sporn, MB, Roberts AB.** Role of retinoids in differentiation and carcinogenesis. *J Natl Cancer Inst* 1984, **73**, 1381-1387.
32. **Stephen R, Darbre PD.** Loss of growth inhibitory effects of retinoic acid in human breast cancer cells following long-term exposure to retinoic acid. *British J Cancer* 2000, **83**, 1183-1191.
33. **Stewart CE, Rotwein P.** Growth, differentiation, and survival. multiple physiological functions of insulin-like growth factors. *Physiol Rev* 1996, **76**, 1005-1026.
34. **Zhou Q, Stetler-Stevenson M, Steeg PS.** Inhibition of cyclin D expression in human breast carcinoma cells by retinoids in vitro. *Oncogene* 1997, **3**, 107-115.